

# Algoritmos de Decodificação Abrupta para Códigos LDGM

Fernando Pujaico Rivera e Jaime Portugheis

**Resumo**—Desde que Gallager introduziu o algoritmo de decodificação *Bit-Flipping* (*BF*) com decisão abrupta para códigos *Low Density Parity Check* (*LDPC*), outras duas variantes foram propostas por Sipser e Spielman para os códigos conhecidos como “*Expander Codes*”. Posteriormente, uma versão da decodificação *BF* por decisão suave conhecida como decodificação *Modified Weighted BF* (*MWBF*), foi investigada. Este artigo propõe versões modificadas dos algoritmos de Sipser e Spielman. Resultados de simulações para códigos *Low Density Generator Matrix* (*LDGM*) sistemáticos, com comprimento longo mostraram um melhor desempenho da versão proposta. Adicionalmente, para um comprimento médio dos códigos LDGM, resultados de simulações mostraram um desempenho similar à decodificação *MWBF* com a vantagem de não ser necessário o uso de operações em ponto flutuante.

**Palavras-Chave**—Códigos Corretores de Erro, Códigos de Matrizes Geradoras de Baixa Densidade, Algoritmos de Decodificação, Decodificação por Decisão Abrupta.

**Abstract**—Since Gallager introduced *Bit-Flipping* (*BF*) decoding with hard-decision for Low-Density Parity-Check Codes (*LDPC*), other two variants were proposed by Sipser and Spielman for expander codes. Later, a soft-decision version of *BF* decoding, known as *Modified Weighted BF* (*MWBF*) decoding, was investigated. This article proposes modified versions of Sipser and Spielman algorithms. Simulation results for long systematic Low-Density Generator Matrix (*LDGM*) codes show a better performance of the proposed versions. Moreover, for moderate length systematic LDGM codes, simulation results show performance similar to that of *MWBF* decoding with the advantage of not requiring floating-point operations.

**Keywords**—Error correcting codes, Low density generator matrix codes, Decoding algorithms, Hard decision decoding.

## I. INTRODUÇÃO

Gallager [1] ao introduzir a classe de códigos *LDPC*, também propôs um algoritmo muito simples de decodificação por decisão abrupta, isto é, um limiar de decisão é usado no valor real observado na saída do canal *AWGN* (do inglês, Additive Gaussian Noise Channel), gerando um vetor recebido binário. Este algoritmo ficou conhecido como *Bit-Flipping* (*BF*). Sipser e Spielman estudaram em [2] uma sub-classe dos códigos *LDPC*, chamados “*expander codes*”, e propuseram duas formas novas de algoritmos *BF* com decisão abrupta. Kou et al. propuseram em [3] uma versão da decodificação *BF* para decisão suave, isto é, um algoritmo que trabalha com o valor real da saída do canal. Esta versão é conhecida como

Fernando Pujaico Rivera, está no Departamento de Comunicações, Faculdade de Engenharia Elétrica e de Computação, Unicamp, Campinas-SP. E-mail: fpujaico@decom.fee.unicamp.br

Jaime Portugheis estava no Departamento de Comunicações, Faculdade de Engenharia Elétrica e de Computação, Unicamp, Campinas-SP. Ele está agora na Faculdade de Tecnologia da Unicamp, E-mail: jaime@ft.unicamp.br

decodificação *weighted BF* (*WBF*). Posteriormente, Zhang e Fossorier [4] modificaram a função flipping do algoritmo *WBF* introduzindo um fator de correção que depende de um parâmetro a ser otimizado. Esta variante é denominada *Modified WBF* (*MWBF*). Este artigo propõe e estuda duas versões modificadas dos algoritmos de Sipser e Spielman, que a partir de agora serão denominadas *Serial Hard Bit-Flipping* (*SHBF*) e *Parallel Hard Bit-Flipping* (*PHBF*). A seção II descreve o algoritmo *BF* e a seção III o algoritmo *WBF*. Modificações do algoritmo *WBF* são descritas na seção IV. A seção VI propõe modificações do algoritmo de Sipser e Spielman descrito na seção V. A seção VII descreve resultados de simulação dos algoritmos propostos na seção anterior e finalmente a seção VII apresenta conclusões e sugestões de futuros trabalhos.

## II. BIT-FLIPPING

O algoritmo de decodificação *Bit-Flipping* (*BF*) foi idealizado por Gallager [1] como uma proposta para identificar e corrigir os erros na transmissão de informação de um vetor  $U$  de  $K$  bits num canal *BSC* (do inglês, Binary Symmetric Channel). Depois de que o vetor codificado,  $V = UG$ , transita através do canal com ruído, este chega a seu destino com erros. Este novo vetor binário é chamado de  $Z$ , e, para corrigir possíveis erros nele, o algoritmo atribui a cada bit  $z_n$  de  $Z$  uma confiabilidade  $E_n$ . Esta confiabilidade indica a menor ou maior possibilidade de que esse bit esteja errado. O critério para atribuir as confiabilidades segue a equação

$$E_n = \sum_{m \in \mathcal{M}(n)} s_m. \quad (1)$$

$S$  é o vetor de síndromes de  $S = HZ$ , em que  $H$  é a matriz de verificação de paridade. A matriz  $H$  pode ser representada mediante  $M$  vetores binários  $h_m$  de comprimento  $N$ , em que  $m = 0, 1, \dots, M - 1$ . Assim,  $s_m = Z h_m^t$ , na qual  $h_m^t$  é um vetor coluna. Deste modo, definimos  $\mathcal{M}(n)$  como o conjunto de todos os valores que pode tomar  $m$  tal que  $h_{m,n} = 1$ , ou seja,

$$\mathcal{M}(n) = \{m | h_{m,n} = 1\}. \quad (2)$$

Pode-se entender melhor  $\mathcal{M}(n)$  mediante a Figura 1, em que  $\mathcal{M}(1) \in \{1, 2\}$  representa o conjunto dos índices dos bits  $s_m$  que estejam ligados ao bit  $z_1$ .

Após estabelecer o critério de geração de confiabilidades  $E_n$  para cada bit  $z_n$  é necessário gerar também um critério para trocar os bits. O algoritmo *BF* troca todos os bits com  $E_n \geq$

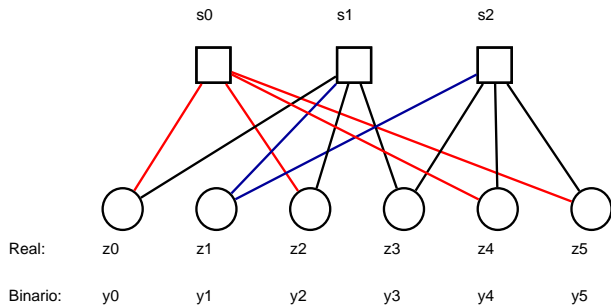


Fig. 1. Gráfico de Tanner de um código  $(N,K)=(6,3)$ .

$\delta$ . Na implementação que segue do algoritmo *BF*, se usa como limiar  $\delta$  o valor máximo de  $E_n$  no vetor  $\mathbf{Z}$ . O Algoritmo 1, mostrado a seguir, descreve todo o procedimento.

#### Algoritmo 1 Decodificação *Bit-Flipping*

- 1) Inicia-se com  $k = 0$  e o vetor de decisão abrupta  $Z^{(k)} = (z_1^{(k)}, \dots, z_n^{(k)}, \dots, z_N^{(k)}) = \mathbf{Z}$ .
- 2) Calcule-se a síndrome  $s_m = \sum_n h_{m,n} z_n^{(k)} \pmod{2}$  para  $m = 1, \dots, M$ . Se todos os valores são nulos então para-se a decodificação e o vetor  $Z^{(k)}$  é entregue.
- 3) Para  $n = 1, \dots, N$  calcula-se a função de flipping  $E_n$  em (1).
- 4) Identifica-se o conjunto  $\{n^*\}$ , na qual  $n^* = \arg \max_n E_n$ .
- 5) Troca-se de valor todos os bits  $z_n^{(k)}$  em que  $n \in \{n^*\}$ , e faz-se  $Z^{(k+1)} = Z^{(k)}$ .
- 6) Se o número máximo de iterações,  $IT$ , não é atingido, faz-se  $k = k + 1$  e continua-se no passo 2. Caso contrário para-se a decodificação e se retorna  $\mathbf{Z}$ .

Pelo visto no Algoritmo 1, a decodificação *BF* pode ser entendida como um algoritmo baseado em confiabilidades, onde o conjunto de bits menos confiáveis são considerados errados e seu valor é trocado. A confiabilidade de cada bit é calculada somando a quantidade de bits de verificação de paridade que ligados ao bit codificado indiquem a existência de um erro. Muito parecido a uma votação, onde só os votos contra são contabilizados para o bit em estudo. Ao final, o conjunto de bits que tenham mais votos contra serão trocados.

### III. O ALGORITMO *Weighted Bit-Flipping*

O algoritmo de decodificação *Weighted Bit-Flipping* (*WBF*) é uma variante do algoritmo *BF* [3]. Ele está orientado a trabalhar com um vetor real  $Y$  como dado de entrada. Este vetor  $Y$  pode ser obtido por exemplo na saída de um canal *AWGN*. Para a geração das confiabilidades  $E_n$  de cada bit usa-se uma ponderação de  $|y_n|$  e dos valores de  $s_m$ , usando o valor +1 para  $s_m = 1$  e o valor -1 para  $s_m = 0$ . Diferentemente do algoritmo *BF*, o algoritmo *WBF* usa os bits de verificação de paridade corretos, com  $s_m = 0$ , além dos bits de verificação errados, com  $s_m = 1$ , e atribui a cada bit  $s_m$  um fator de ponderação  $w_m$ , como segue

$$E_n = \sum_{m \in \mathcal{M}(n)} (2s_m - 1)w_m, \quad (3)$$

em que

$$w_m = \min_{i \in \mathcal{N}(m)} |y_i|. \quad (4)$$

O conjunto  $\mathcal{M}(n)$  de (3) é igual ao do algoritmo *BF*.  $\mathcal{N}(m)$  é o conjunto de todos os índices dos bits  $y_i$  ligados a  $s_m$ . Por exemplo na Figura 1 o conjunto  $\mathcal{N}(0) = \{0, 2, 4, 5\}$ . Assim  $w_m$  é o valor mínimo derivado do valor absoluto dos  $y_i$  ligados ao bit  $s_m$ . Obtidas as confiabilidades para cada bit, o algoritmo *WBF* troca o bit que tenha o maior valor. Dado que a confiabilidade usa valores reais, o mais provável é que se troque um só bit.

#### Algoritmo 2 Decodificação *Weighted Bit-Flipping*

- 1) Inicia-se com  $k = 0$  e o vetor  $Z^{(k)} = (z_1^{(k)}, \dots, z_n^{(k)}, \dots, z_N^{(k)})$  com a decisão abrupta do vetor  $Y$ .
- 2) Avalia-se a síndrome  $s_m = \sum_n h_{m,n} z_n^{(k)} \pmod{2}$  para  $m = 1, \dots, M$ . Se todos os valores são nulos então para-se a decodificação e o vetor  $Z^{(k)}$  é entregue.
- 3) Para  $n = 1, \dots, N$  avalia-se a função de flipping  $E_n$  em (3).
- 4) Identifica-se  $n^* = \arg \max_n E_n$ .
- 5) Troca-se de valor o elemento com índice  $n^*$  de  $Z^{(k)}$ , e faz-se  $Z^{(k+1)} = Z^{(k)}$ .
- 6) Se  $IT$  não é atingido, coloca-se  $k = k + 1$  e vai-se ao passo 2. Caso contrário para-se a decodificação e  $\mathbf{Z}$  é o vetor entregue.

### IV. OS ALGORITMOS: *Modified WBF* E *Improved Modified WBF*

O algoritmo *Modified WBF* (*MWBF*) foi proposto em [4] como uma modificação ao algoritmo *WBF*. O algoritmo *MWBF* utiliza a função de flipping

$$E_n(\alpha) = \sum_{m \in \mathcal{M}(n)} (2s_m - 1)w_m - \alpha|y_n|. \quad (5)$$

Na equação (5) pode-se ver a confiabilidade descrita pelos bits de verificação de paridade e também pela confiabilidade do bit do vetor de decisão abrupta. Esta última é ponderada com um sinal negativo dado que o comportamento desta é inverso ao da confiabilidade dos bits de verificação de paridade. O fator de ponderação  $\alpha > 0$  é colocado devido ao fato de que é provável que a matriz de verificação de paridade,  $H$ , seja irregular e  $\mathcal{M}(n)$  tenha distintas cardinalidades. Por isto é necessário obter experimentalmente o melhor valor para  $\alpha$ .

*MWBF* usa o algoritmo 2 para a decodificação, com a diferença de que usa a equação (5) para a geração de confiabilidades  $E_n$ . O algoritmo de decodificação *improved MWBF* (*IMWBF*) é uma variante do *MWBF* proposta em [5]. *IMWBF* vê a decodificação *WBF* como uma primeira aproximação do algoritmo de passagem de mensagem. Nesse algoritmo a confiabilidade enviada de um bit de verificação de paridade exclui a mensagem do bit que

recebe a informação. Na equação (7) pode-se ver como o  $n$ -ésimo elemento é excluído do cálculo de  $w_{n,m}$ , ficando a confiabilidade  $E_n$  para o algoritmo *IMWBF* como

$$E_n(\alpha) = \sum_{m \in \mathcal{M}(n)} (2s_m - 1)w_{n,m} - \alpha|y_n|, \quad (6)$$

em que

$$w_{n,m} = \min_{i \in \mathcal{N}(m) \setminus n} |y_i|. \quad (7)$$

*IMWBF* usa o algoritmo 2 para a decodificação, com a diferença que usa as equações (6) e (7).

## V. ALGORITMOS DE SIPSER E SPIELMAN

Sipser e Spielman propuseram em [2] uma nova maneira de gerar o vetor de confiabilidade e a estimação dos bits errados para um canal com saída abrupta. O primeiro algoritmo que propuseram foi um algoritmo de decodificação sequencial. Ele é mostrado como algoritmo 3.

### Algoritmo 3 Decodificação de Sipser e Spielman

- 1) Se houver um bit  $z_n$  que tem mais bits de verificação de paridade  $s_m$  não satisfeitos que satisfeitos, então troca-se este bit.
- 2) Repita o passo anterior até que nenhuma variável fique com bits de verificação de paridade não satisfeitos.

O algoritmo 3 pode ser descrito como os algoritmos de bit-flipping. Por exemplo, o passo 1 é equivalente a: atribua uma confiabilidade +1 quando  $s_m = 1$  e uma confiabilidade -1 quando  $s_m = 0$ . Caso contrário, some as confiabilidades de todos os bits  $s_m$  ligados a  $z_n$ . Se a confiabilidade resultante  $E_n$  é maior que zero, troque o bit  $z_n$ . Assim, a função de flipping é dada por

$$E_n = \sum_{m \in \mathcal{M}(n)} (2s_m - 1), \quad (8)$$

em que  $\mathcal{M}(n)$  é como na equação (2).

Note que não se fala nada sobre que bit deve ser trocado. Dado que o algoritmo é sequencial se trocará um só bit por vez e como no algoritmo *BF* se procederá ao cálculo da síndrome. Se ela for zero, finaliza-se a decodificação. Se for distinta de zero, se aplica o algoritmo 3 até que todas as síndromes sejam nulas, ou se atinja um número máximo de iterações. Sipser e Spielman também propuseram um algoritmo paralelo que consiste em realizar a troca de bits (flipping) de todos os bits com  $E_n > 0$  numa única iteração. A partir de agora denominaremos o algoritmo sequencial de Sipser e Spielman como *SSSBF* e o paralelo de *PSSBF*.

## VI. ALGORITMOS BF MODIFICADOS COM DECISÃO ABRUPTA

Nesta seção propõe-se uma modificação do algoritmo de decodificação *SSSBF*. Esta modificação será denominada *PHBF* (do inglês, *Parallel Hard Bit-Flipping*). Ela trabalha sobre um vetor de entrada binário  $Z$  e tem a mesma regra de geração de confiabilidade,  $E_n$ , do algoritmo *SSSBF*. A regra

foi vista na equação (8). A diferença aqui está no critério de troca dos bits errados: é igual ao algoritmo *BF*. Troca-se todos os bits com um  $E_n \geq \delta$ . Para a implementação atual usou-se como  $\delta$  o maior valor de  $E_n$ . O algoritmo 4 detalha todo o procedimento para a decodificação *PHBF*.

### Algoritmo 4 Decodificação *Parallel Hard Bit-Flipping*

- 1) Inicia-se com  $k = 0$  e o vetor de decisão abrupta  $Z^{(k)} = (z_1^{(k)}, \dots, z_n^{(k)}, \dots, z_N^{(k)}) = \mathbf{Z}$ .
- 2) Calcula-se a síndrome  $s_m = \sum_n h_{m,n} z_n^{(k)} \pmod{2}$  para  $m = 1, \dots, M$ . Se todos os valores são nulos, então para-se a decodificação e se retorna o vetor  $Z^{(k)}$ .
- 3) Para  $n = 1, \dots, N$ , avalia-se a função de flipping  $E_n$  em (8).
- 4) Identifica-se o conjunto  $\{n^*\}$ , na qual  $n^* = \arg \max_n E_n$ .
- 5) Troca-se de valor todos os bits  $z_n^{(k)}$  em que  $n \in \{n^*\}$ , e faz-se  $Z^{(k+1)} = Z^{(k)}$ .
- 6) Se *IT* não é atingido, faz-se  $k = k + 1$  e vai-se ao passo 2. Caso contrário, para-se a decodificação e o vetor  $\mathbf{Z}$  é entregue.

Existe uma relação entre o algoritmos *BF* e *PHBF* pois ambos utilizam um regra de confiabilidade parecida. A primeira vista poderia parecer que a confiabilidade de *PHBF* (veja equação 8) é simplesmente uma combinação linear da confiabilidade de *BF* (veja equação 1). Assim, não deveria existir nenhuma diferença quando se acha a confiabilidade do valor máximo. E portanto também na decodificação de  $Z$ . Isto é verdade só no caso em que o número de elementos de  $\mathcal{M}(n)$  é constante. A verificação disto é fácil de ver se consideramos a quantidade de bits por coluna de  $H$ ,  $X(n)$ ,

$$X(n) = \sum_{m=0}^{M-1} h_{m,n}. \quad (9)$$

$X(n)$  também por ser interpretado como a quantidade de bits de verificação de paridade  $s_m$  que estão conectados à  $z_n$ .

Se consideramos que se tem  $l$  bits de verificação de paridade errados para o bit  $z_n$  então o valor da confiabilidade segundo o algoritmo *BF* seria  $E_n^{BF} = l$ . Por outro lado, a confiabilidade para o algoritmo *PHBF* seria  $E_n^{PHBF} = (+1)l + (-1)(X(n) - l) = 2l - X(n)$ . Unindo ambas idéias, obteríamos a equação

$$E_n^{PHBF} = 2E_n^{BF} - X(n). \quad (10)$$

A equação (10) mostra claramente que se todos os bits  $z_n$  possuem a mesma quantidade de bits de verificação de paridade, isto é, se a matriz  $H$  possui um grau de coluna constante, os algoritmos *BF* e *PHBF* levam ao mesmo resultado na decodificação.

Uma variante do algoritmo *PHBF* é o serial hard bit-flipping (*SHBF*). Neste algoritmo, a diferença do *PHBF* está na troca de um só bit por iteração e no fato de dar-se prioridade ao bit de informação para o caso de matrizes sistemáticas. Assim, o passo 5 do algoritmo *SHBF* será:

- 5 Troca-se o valor do primeiro bit de informação  $z_n^{(k)}$  em que  $n \in \{n^*\}$ . Se este conjunto não contém nenhum bit de informação, troca-se o valor do primeiro bit de verificação de paridade encontrado.

## VII. RESULTADOS DE SIMULAÇÕES

Nas simulações se usarão dois tipos de matrizes, as *LDGM* e *EG-LPDC* [3] (*Euclidean Geometry - LDPC*). No caso das matrizes *LDGM* a matriz geradora  $G$  tem a seguinte forma,  $G = [P \ I_K]$ . No caso das matrizes *EG-LDPC* se usarão matrizes de tipo I [3]. Diferentemente das *LDGM*, as *EG-LDPC* são matrizes regulares com uma quantidade de uns por linha e coluna da matriz de verificação de paridade muito superior a das *LDGM* e com a vantagem de que as *EG-LDPC* são matrizes cíclicas. Assim, a geração e verificação de paridade é mais simples de implementar. Com respeito a notação, se usará  $d_v$  e  $d_c$  para indicar a quantidade de uns por coluna e linha respectivamente da matriz de verificação de paridade  $H$ , e se usará  $d_v^*$  e  $d_c^*$  para indicar a quantidade de uns por coluna e linha, respectivamente, da matriz de paridade  $P$ . Além de obter-se os gráficos dos distintos algoritmos *BF* também se mostrará os gráficos da curva estimada por Garcia-Frias e Zhong em [6], para a taxa de erro do bit (*BER*) na região inferior de erro para matrizes *LDGM*. Esta curva é chamada nos gráficos como “Lower Bound” e depende da quantidade de uns por linha  $d_v^*$  da matriz  $P$ . Quando um algoritmo *BF* atinge uma quantidade *IT* máxima de iterações, ao reparar os bits do vetor codificado recebido, o algoritmo desiste e entrega na sua saída o mesmo vetor entregue a ele na sua entrada sem nenhuma modificação, e subtrai dele o vetor de informação. Para códigos *LDGM* isto é simples dado que o vetor de informação é uma porção do vetor codificado. No caso dos códigos *EG-LDPC* as simulações para mostrar a *BER* contabilizam os bits errados no vetor codificado, não do vetor de informação como é mais comum. Isto, no caso dos códigos *EG-LDPC* é uma boa aproximação estatística dado que a matriz de verificação de paridade é uma matriz regular e todos os bits decodificados por ela tem a mesma possibilidade de serem decodificados corretamente. Assim a estatística do total (vetor codificado) é aproximadamente igual a estatística de uma porção dele (vetor de informação). Esta tendência é maior quanto maior seja a quantidade  $N$  de bits codificados.

O gráfico da Figura 2 apresenta as comparações de todas as versões do algoritmos *BF* estudados neste artigo, incluindo a curva limite proposta por Garcia-Frias e Zhong [6], e o limite de Shannon para um canal *BSC* ou *BI-AWGN* (do inglês, Binary Input AWGN) com decisão abrupta. É usado para a codificação uma matriz *LDGM* com  $N = 30000$  bits codificados e  $K = 20000$  bits de informação e taxa do código  $R_c = 0.6667$ . A matriz  $P$  da matriz sistemática foi gerada aleatoriamente tentando conservar constante só a quantidade de uns por linha, obtendo-se um  $d_v^* = 9$ . Para todos os algoritmos *BF* se usou uma quantidade máxima de iterações  $IT = 300$ .

Na Figura 2 se mostra que o melhor desempenho, é obtido pela decodificação *PHBF*, e as decodificações *SHBF* e

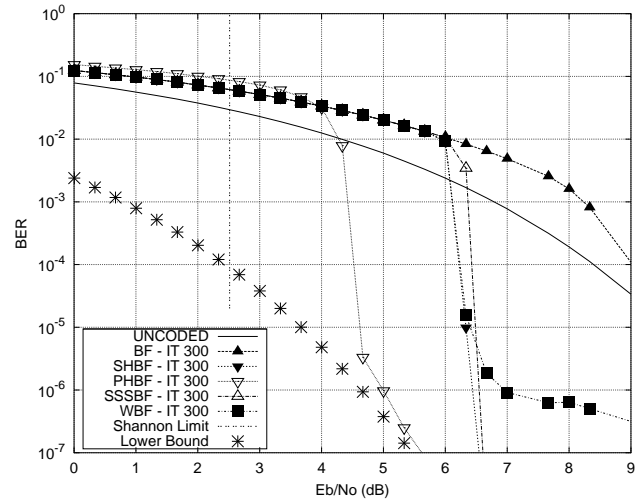


Fig. 2. Simulação dos algoritmos bit-flipping num canal *BI-AWGN* com uma *LDGM* de  $N=30000$  bits de informação,  $K=20000$  bits codificados, 300 iterações como máximo,  $d_v^* = 9$  e  $d_c^* = \text{aleatorio}$ .

*WBF* ficam com um pobre desempenho para uma estimação de um 1% (isto é  $IT = 300$ ) dos bits errados como máximo por vetor codificado. A Figura 3 é a mesma que a Figura 2 com a diferença que se usa uma estimação de 10% (isto é  $IT = 3000$ ) de bits errados como máximo por vetor codificado. Pode-se observar na Figura 3 que o algoritmo *SHBF* se aproxima do desempenho do algoritmo *PHBF* já que a sua capacidade de correção aumenta com o número de iterações e o algoritmo *PHBF* já atingiu o seu melhor desempenho.

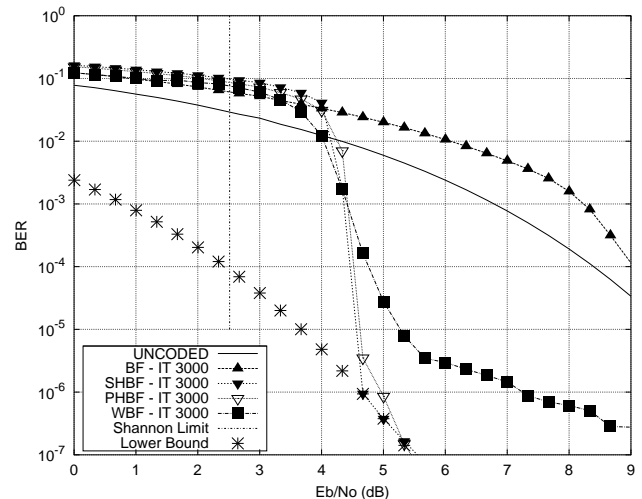


Fig. 3. Simulação dos algoritmos bit-flipping num canal *BI-AWGN* com uma *LDGM* de  $N=30000$  bits de informação,  $K=20000$  bits codificados, 3000 iterações como máximo,  $d_v^* = 9$  e  $d_c^* = \text{aleatorio}$ .

Um ponto de estudo importante é o comportamento dos algoritmos *BF* num canal *BI-AWGN*, usando na codificação e decodificação códigos de bloco com matrizes *EG-LDPC* de tipo I [3]. Como já se tem visto na equação (10), é de

esperar que os algoritmos *BF* e *PHBF* tenham o mesmo desempenho. O gráfico da Figura 4 mostra o desempenho dos algoritmos bit-flipping para um código de bloco com uma matriz geradora e de verificação de paridade criada a partir de uma  $EG(m, 2^s)$ , com  $m = 2$ ,  $s = 5$  e usando o polinômio primitivo  $p(X) = X^{10} + X^3 + 1$ . O código terá  $K = 781$ ,  $N = 1023$  e  $J = 1023$ . Para a simulação se usa como máximo  $IT = 50$  iterações, aproximadamente 5% dos  $N = 1023$  bits codificados. Este código tem um  $d_v = d_c = 32$ , número muito superior ao valor de 9 que foi usado nos códigos *LDGM*. Isto se vê refletido no melhor desempenho de todas as curvas na simulação. É importante ressaltar que quanto maior seja o valor de  $d_v$ , melhor desempenho terão os algoritmos de decodificação, mas também terão maior complexidade na decodificação.

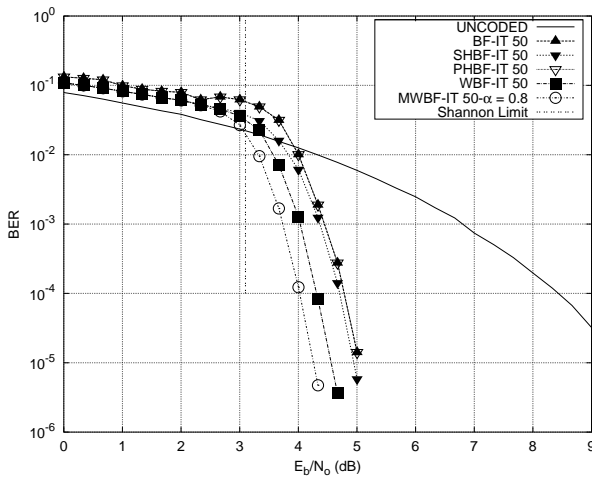


Fig. 4. Simulação dos algoritmos bit-flipping num canal *BI* – *AWGN* com uma *EG* – *LDPC* de tipo I, com  $K=781$  bits de informação,  $N=1023$  bits codificados, 50 iterações como máximo,  $d_v = 32$  e  $d_c = 32$ .

Pelo visto até agora os algoritmos *PHBF* e *SHBF* tem um bom desempenho em matrizes *LDGM* com um baixo grau de linha ( $d_v$ ), superando em algumas situações a algoritmos com decisão suave. Isto não se conserva em matrizes *EG* – *LDPC* por causa da regularidade na quantidade de uns por linha na matriz de verificação de paridade, o que faz com que seu desempenho seja igual ao algoritmo *BF*. Isto pode-se ver facilmente na equação (10), onde uma confiabilidade é uma função linear da outra, pelo qual o máximo e o mínimo estão na mesma posição em ambos casos, neste caso o incremento na complexidade de *PHBF* e *SHBF* não outorga nenhuma vantagem.

É importante notar que os códigos *LDPC* irregulares não sistemáticos não foram testados neste trabalho porque se quer medir o desempenho dos algoritmos para um numero fixo (regular ou aproximadamente regular) de uns por coluna na matriz de verificação de paridade. Neste sentido se ressalta que o desempenho dos algoritmos depende deste valor como pode-se ver comparando a Figura 3 com  $d_v^* = 9$  e a Figura 4 com  $d_v = 32$ .

## VIII. CONCLUSÕES

Este artigo apresentou os algoritmos de decodificação *PHBF* e *SHBF* como modificações nas formas paralela e sequencial do algoritmo de decodificação *BF*, proposto por Gallager. Estas modificações também estão baseadas no método de geração de confiabilidade do algoritmo modificado *BF* proposto por Sipser e Spielman.

Para um comprimento moderado dos códigos *LDGM* se observa que o algoritmo de decodificação *MWBF* não apresenta nenhuma melhora significativa de desempenho quando comparado com a decodificação *PHBF*. Isto pode ser atribuído ao fato de que estes códigos tem uma distribuição irregular no peso das colunas da matriz de verificação de paridade  $H$  ( $N - K$  colunas de peso 1 e  $K$  colunas de peso  $d_v^*$ ) e o fator de ponderação da decodificação *MWBF* atua com o mesmo valor sobre confiabilidades de distintos pesos por coluna de  $H$ .

Outro ponto a observar é que os algoritmos de decodificação *SHBF* e *PHBF* apresentam um desempenho semelhante com diminuição da taxa de erro quando comparados ao algoritmo *WBF*, este último sendo mais custoso em complexidade computacional por causa de seus cálculos em ponto flutuante.

Fica para futuros trabalhos investigar se existe uma maneira de decodificação *MWBF* com melhor desempenho que a decodificação *WBF* e a *PHBF* considerando matrizes *LDGM* sistemáticas.

## REFERÊNCIAS

- [1] R. Gallager, “Low-Density Parity-Check Codes.” Cambridge, Massachusetts: MIT Press, 1963.
- [2] M. Sipser e D. Spielman, “Expander Codes,” *IEEE Trans. Inform. Theory*, v. 42, n. 6, pp. 1710-1722, Novembro 1996.
- [3] Y. Kou, S. Lin e M. Fossorier, “Low-density parity-check codes based on finite geometries: A rediscovery and new results,” *IEEE Trans. Inform. Theory*, v. 47, n. 7, pp. 2711-2736, Novembro 2001.
- [4] J. Zhang e M. Fossorier, “A Modified Weighted Bit-Flipping Decoding of Low-Density Parity-Check Codes,” *IEEE Commun. Lett.*, v. 8, n. 3, pp. 165-167, Março 2004.
- [5] M. Jiang, C. Zhao, Z. Shi e Y. Chen, “An Improvement on the Modified Weighted Bit-Flipping Decoding Algorithm for LDPC Codes,” *IEEE Commun. Lett.*, v. 9, n. 9, pp. 814-816, Setembro 2005.
- [6] J. F. Garcia-Frias e W. Zhong, “Approaching Shannon performance by iterative decoding of linear codes with low-density generator matrix,” *IEEE Commun. Lett.*, v. 7, n. 6, pp. 266-268, Junho 2003.